

### 3 - 15 関東・東海地域における歪観測結果（及び1981年5月4日の 秦野における異常変化と相模湾の群発地震）

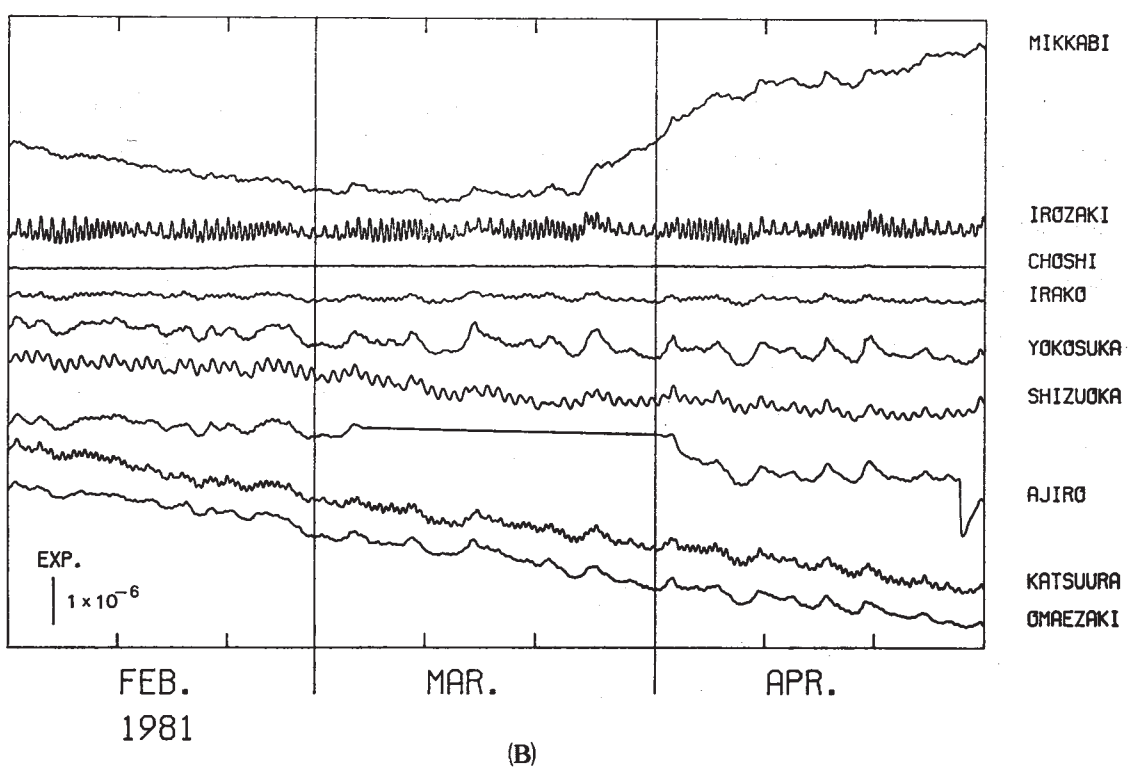
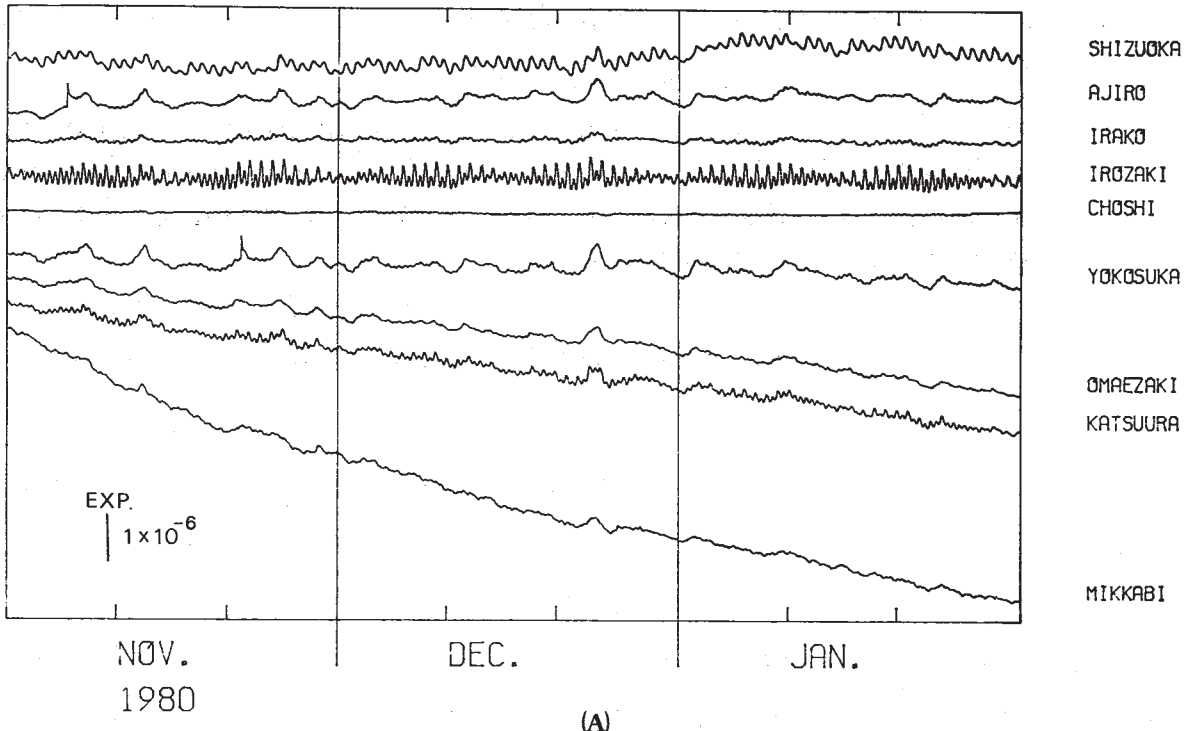
**Observation of Crustal Strains by Borehole Strainmeters in Kanto and Tokai  
Districts (and an Anomalous Variation of Strain at Hadano on May 4, 1981,  
Related to Earthquake Swarm in Sagami Bay)**

気象庁地震課 地震予知情報室  
OIEP, Seismological Division, Japan Meteorological Agency

第1図(A)および(B)は、最近6ヶ月間の南関東および東海地域における埋込式歪計による歪変化（毎時の値）である。第2図(A)および(B)は昭和54年度設置分の東海地域における歪変化（毎時の値）である。なお、第2図(B)の右側には、昭和55年7月以降の日平均値の変化を示してある。第3図および第4図は観測開始以来1981年4月までの歪変化（日平均値）である。第5図に1981年4月現在の東海・南関東地域における埋込式歪計による歪観測地点を示す。

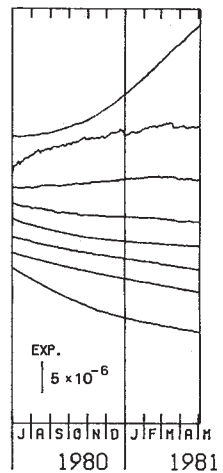
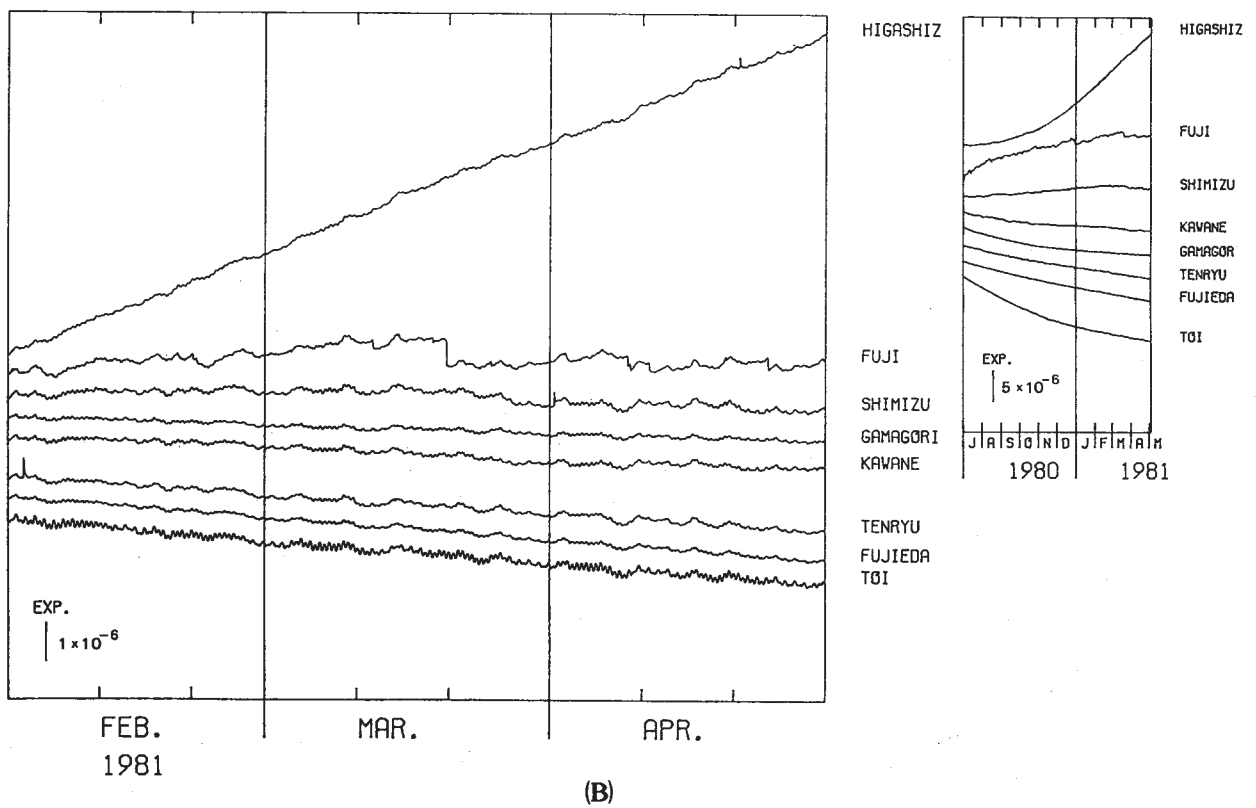
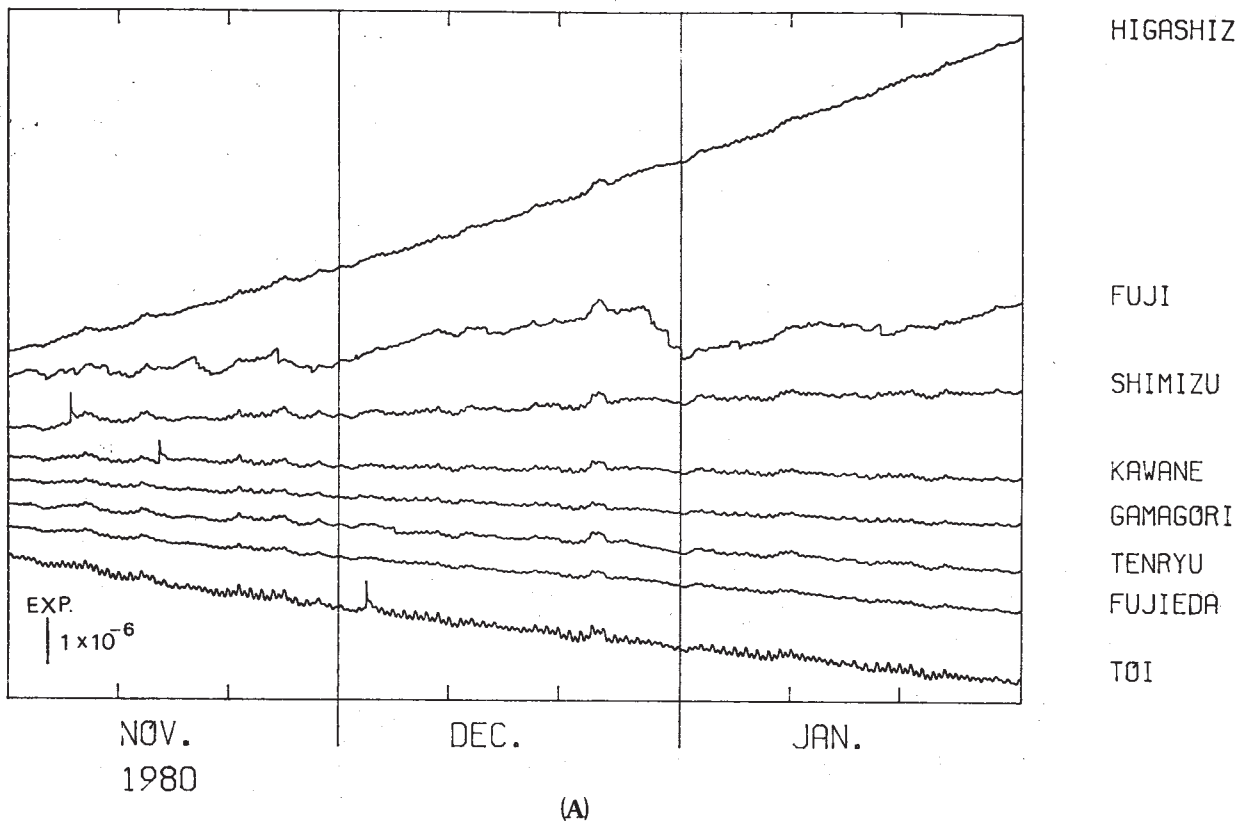
第2図(B)によると、3月20日18時過ぎに富士で $0.6 \times 10^{-6}$ 程度の縮みの異常変化がみられるが、この詳細は第6図に示してある。この歪変化発生2日後の22日17時00分に山梨・静岡県境にマグニチュード4.4（静岡で震度3）の地震が起ったが、この地震との関係は明らかでない。

第7図は南関東地域の歪観測のDC記録およびAC記録で、DC記録は3時間毎の値である。ただし、秦野の記録で4日11時頃は1時間毎の値をとってある。この図の秦野で5月4日11時少し前から縮みの異常変化があった。この歪変化発生とほぼ同時刻の10時44分に相模湾で小地震が起り、翌5日までにマグニチュード2ないし3クラスの地震が9回観測された。第8図はこの地震の震央分布である。



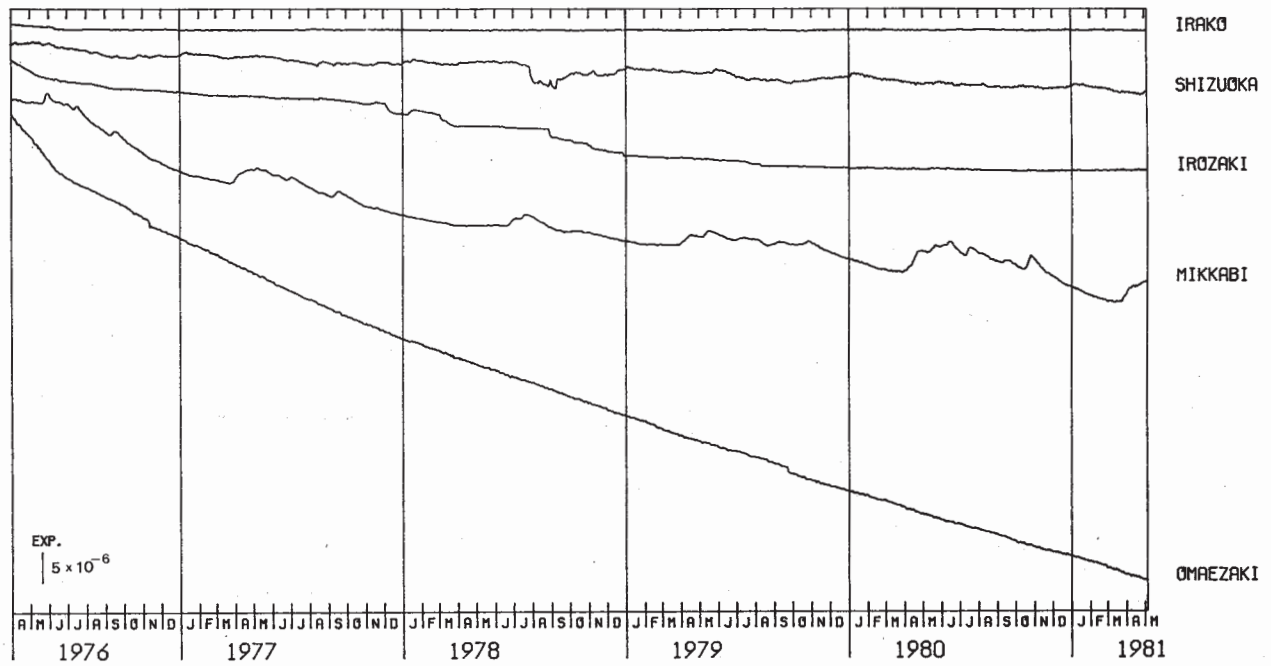
第1図 埋込式歪計による歪変化（毎時の値）

Fig. 1 (A) and (B). Variation of ground-strains by borehole strainmeters in Kanto and Tokai District (hourly values).



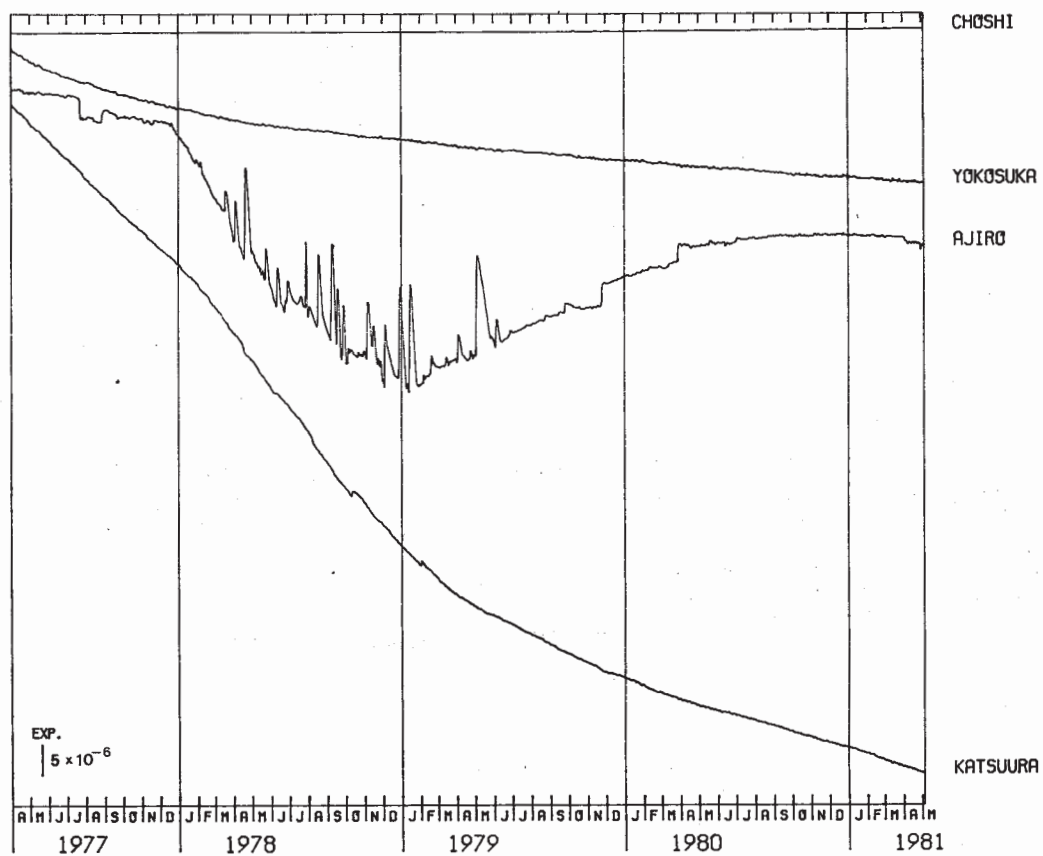
第 2 図 埋込式歪計による歪変化 (毎時の値)

Fig. 2 (A) and (B). Variation of ground-strains by borehole strainmeters in the Tokai District (hourly values).



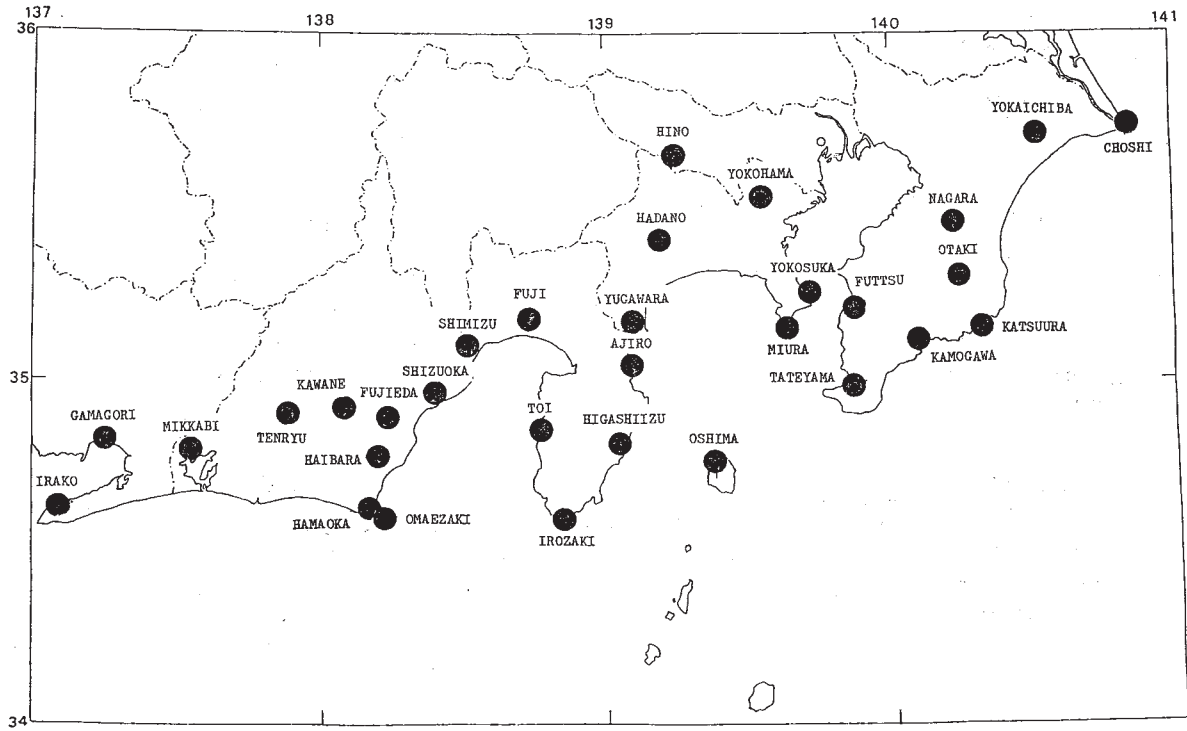
第3図 東海地方における埋込式歪計による歪変化（日平均値）

Fig.3 Secular variation of ground-strains by borehole strainmeters in the Tokai District (daily mean values).



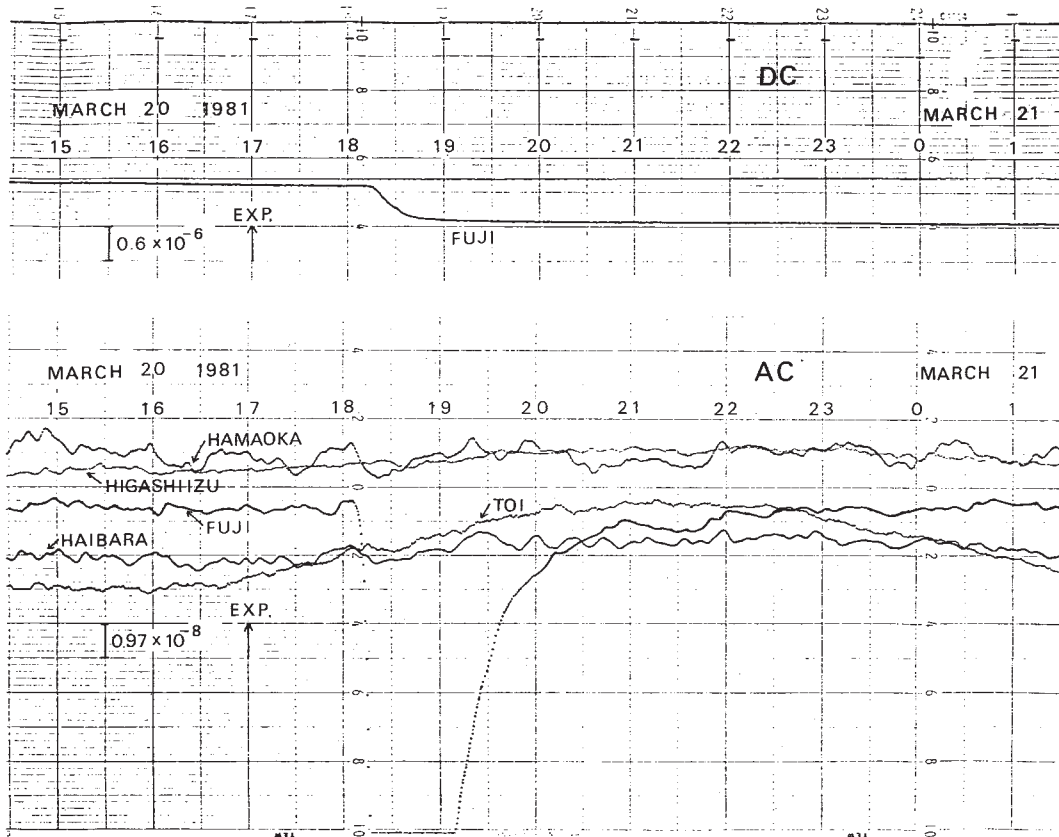
第4図 関東地方における埋込式歪計による歪変化（日平均値）

Fig. 4 Secular variation of ground-strains by borehole strainmeters in the Kanto District (daily mean values).



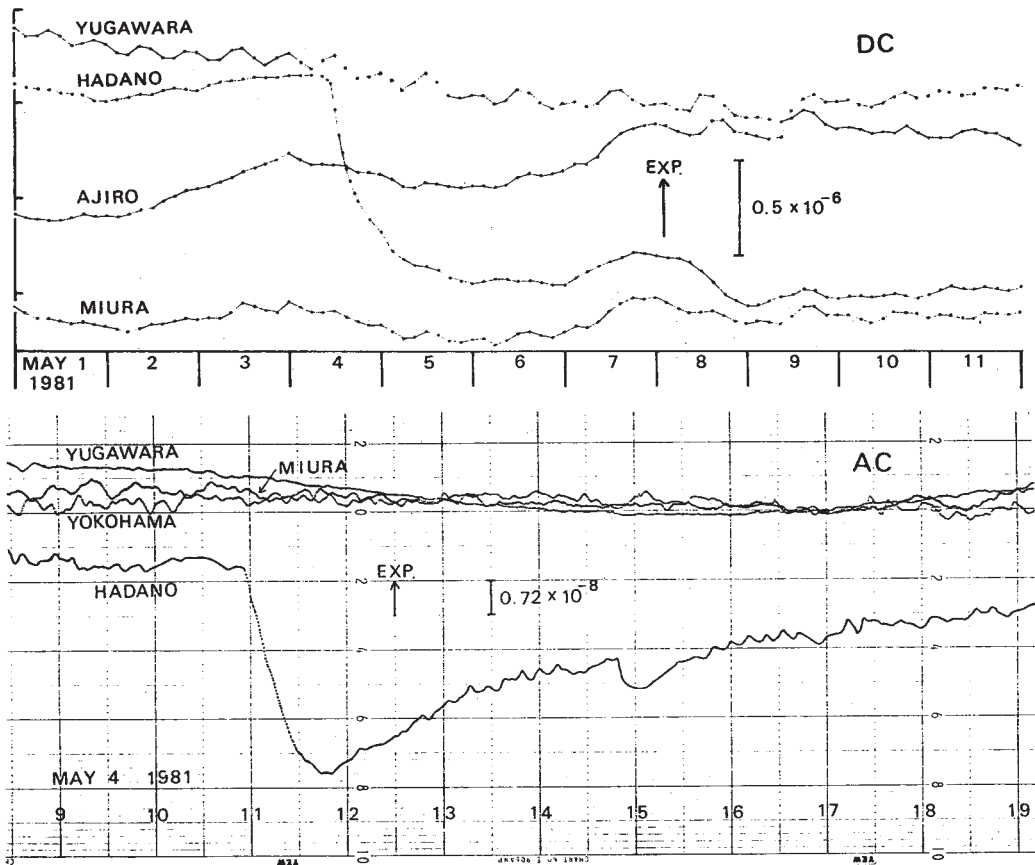
第5図 東海・南関東地域歪観測網

Fig. 5 Observation network for ground-strains by borehole strainmeters.



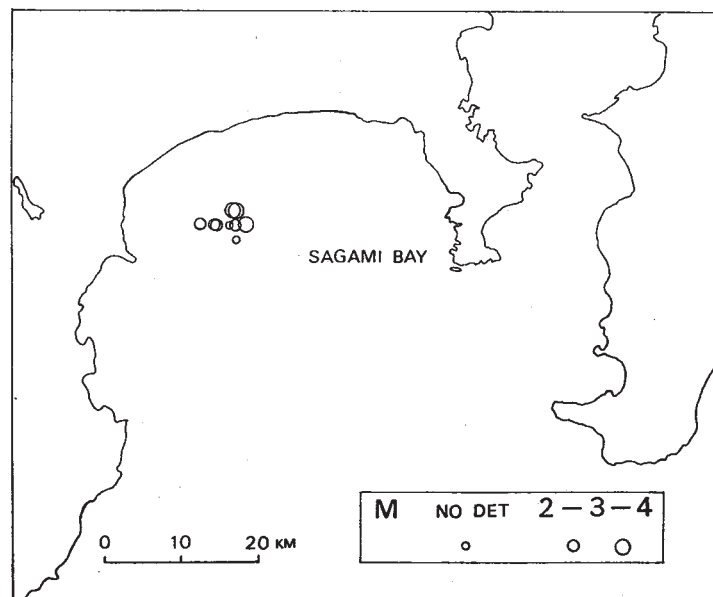
第6図 1981年3月20日の富士における歪の異常変化

Fig. 6 Anomalous variation of the ground-strain on March 20, 1981, at Fuji. Upper and lower figures indicate DC and AC components, respectively.



第7図 1981年5月4日の秦野における歪の異常変化

Fig. 7 Anomalous variation of the ground-strain on May 4, 1981 at Hadano. Upper and lower figures indicate DC and AC components, respectively.



第8図 1981年5月4～5日に起った相模湾の地震の震央分布

Fig. 8 Distribution of epicenters of small earthquakes that occurred in Sagami Bay on May 4 and 5, 1981.